Universitas Negeri Medan Jurusan Matematika

PROSIDING SEMINAR NASIONAL MATEMATIKA

Transformasi, Rekonstruksi, dan integrasi keilmuan dalam pembelajaran matematika menuju era inovasi dan kolaborasi



Prof. Dr. Syawal Gultom, M.Pd
Narasumber 1



Prof. Dr. Ferra Yanuar, M.Sc Narasumber 2



Dr. Ani Sutiani, M.Si Opening Speech



Vol 3 (2024)



2024

PROSIDING SEMINAR NASIONAL MATEMATIKA

TRANSFORMASI, REKONSTRUKSI, DAN INTEGRASI
KEILMUAN DALAM PEMBELAJARAN MATEMATIKA MENUJU
ERA INOVASI DAN KOLABORASI

Penulis

Peserta Prosiding Seminar Nasional Matematika 2024



Penerbit
CV. Kencana Emas Sejahtera
Medan
2025

PROSIDING SEMINAR NASIONAL MATEMATIKA

TRANSFORMASI, REKONSTRUKSI, DAN INTEGRASI KEILMUAN DALAM PEMBELAJARAN MATEMATIKA MENUJU ERA INOVASI DAN KOLABORASI

©Penerbit CV. Kencana Emas Sejahtera
All right reserved
Anggota IKAPI
No.030/SUT/2019

Hak cipta dilindungi oleh Undang-undang Dilarang mengutip atau memperbanyak sebagian atau seluruh isi buku tanpa izin tertulis dari Penerbit

Penulis
Peserta Prosiding Seminar Nasional
Matematika 2024

TIM EDITOR

Diterbitkan pertama kali oleh Penerbit CV. Kencana Emas Sejahtera Jl.Pimpinan Gg. Agama No.17 Medan Email finamardiana3@gmail.com HP 082182572299 / 08973796444

> Cetakan pertama, Juli 2025 xii + 882 hlm; 21 cm x 29,7 cm ISBN:978-634-7059-33-8



KATA PENGANTAR

Puji syukur kami panjatkan kepada Tuhan Yang Maha Esa atas segala karuniaNya, sehingga Buku Abstrak Prosiding Seminar Nasional Matematika yang diselenggarakan Jurusan Matematika, FMIPA Universitas Negeri Medan. Kegiatan ini mengusung tema Transformasi, Rekonstruksi, dan integrasi keilmuan dalam pembelajaran matematika menuju era inovasi dan kolaborasi dengan keynote speaker Prof. Dr. Syawal Gultom, M.Pd. dan Prof. Dr. Ferra Yanuar, M.Sc. serta Dr. Ani Sutiani, M.Si. sebagai Opening Speech. Tujuan kegiatan ini selain menciptakan lingkungan akademik di lingkungan jurusan matematika FMIPA Universitas Negeri Medan, juga menjadi wadah untuk menyebaran pengembangan ilmu pada bidang matematika dan rumpun ilmu yang berkaitan. Kegiatan yang dilaksanakan pada tanggal 20 November ini diikuti oleh 228 peserta seminar dan 131 pemakalah (presenter) yang berasal dari beberapa institusi di tingkat Nasional. Artikel yang diterima terdiri dari dikelompokkan pada 4 bidang; (1) ilmu Komputer; (2) Pendidikan matematika; (3) statistik; dan (4) Matematika. Dari 131 Full Paper yang masuk, selain diterbitkan dalam bentuk prosiding, juga akan diterbitkan pada mitra publikasi jurnal kami; (1) Jurnal Fibonaci: Jurnal Pendidikan Matematika; (2) Journal of Mathematics, Compupations, and Statistics; (3) jurnal Zero: Jurnal Sains, Matematika dan Terapan dan (4) Journal of Didactic Mathematics

Kelancaran kegiatan persiapan kegiatan seminar ini telah didukung oleh jajaran pimpinan Universitas Medan, oleh karena itu Kami mengucapkan terima kasih kepada (1) Ketua Senat Universitas Negeri Medan; (2) Rekor Universitas Negeri Medan; (3) Dekan FMIPA Universitas; dan (4) ketua Jurusan Pendidikan. Kami juga mengucapkan seluruh pihak-pihak terkait yang tidak dapat kami sebutkan satu terutama Panitia Pelaksana dan partisipan dalam pelaksanaan seminar Nasional ini. Semoga prosiding Seminar Nasional Matematika ini, dapat memberikan wawasan dan melengkapi kemajuan teknologi pada bidang yang berkaitan dengan Matematika.

Medan, 7 Februari 2025 a.n Panitia Pelaksana

Dr. Yulita Molliq Rangkuti, S.Si, M.Sc

Thanks To INVITED SPEAKER

Terima kasih kami ucapkan kepada Invite Speaker



Yulita M. Rangkuti, S.Si., M.Sc., Ph.D



Dr. Izwita Dewi, M.Pd



Dra. Nurliani Manurung, M.Pd.



Dra. Katrina Samosir, M.Pd



Kairuddin, S.Si., M.Pd.



Dr. Faiz Ahyaningsih, S.Si., M.Si.



EDITORIAL TEAM

Pengarah Dr. Ani Sutiani, M.Si.

Penanggung jawab Yulita Molliq Rangkuti, S.Si., M.Sc., Ph.D.

Editor Suwanto, M.Pd.

Section Editor Dinda Kartika, S.Pd., M.Si.

Fevi Rahmawati Suwanto, S.Pd., M.Pd.

Suci Frisnoiry, S.Pd., M.Pd.

Sisti Nadia Amalia, S.Pd., M.Stat.

Nurul Maulida Surbakti, M.Si.

Glory Indira Diana Purba, S.Si., M.Pd.

Reviewer Nurhasanah Siregar, S.Pd., M.Pd.

Dr. Izwita Dewi, M.Pd.

Mangaratua M. Simanjorang, M.Pd., Ph.D.

Dr. KMS. Amin Fauzi, M.Pd.

Dr. Mulyono, M.Si.

Dr. Hamidah Nasution, S.Si., M.Si.

Didi Febrian, S.Si., M.Sc.

Dian Septiana, S.Pd., M.Sc.

Dr. Faiz Ahyaningsih, M.Si.

Said Iskandar Al Idrus, S.Si., M.Si.

Dr. Arnita

Sudianto Manullang, S.Si., M.Si.

Susiana, S.Si., M.Si.



Pengarah

Dr. Ani Sutiani, M.Si.

Penanggung Jawab

Dr. Jamalum, M.Si. Dr. Dewi Wulandari, S.Si., M.Si. Dr. Rahmatsyah, M.Si.

Wakil Penanggung Jawab

Dr. Pardomuan Sitompul, M.Si. Dr. Lasker P Sinaga, S.Si., M.Si. Nurhasanah Siregar, S.Pd., M.Pd. Dr. Hamidah Nasution, S.Si., M.Si. Said Iskandar Al Idrus, S.Si., M.Si. Sudianto Manullang, S.Si., M.Si. Didi Febrian, S.Si., M.Sc.

Ketua

Yulita Molliq Rangkuti, S.Si., M.Sc., Ph.D.

Sekretaris

Elfitra, S.Pd., M.Si.

Bendahara

Arnah Ritonga, S.Si., M.Si.

Kesekretariatan

Nadrah Afiati Nasution, M.Pd. Nurul Ain Farhana, M.Si. Imelda Wardani Rambe, M.Pd. Dian Septiana, S.Pd., M.Sc.

Publikasi dan Registrasi

Sri Dewi, M.Kom. Fanny Ramadhani, S.Kom., M.Kom.

Promosi dan Humas

Dedy Kiswanto, S.Kom., M.Kom. Tiur Malasari Siregar, S.Pd., M.Si. Sri Lestari Manurung, S.Pd., M.Pd.

Logistik

Muhammad Badzlan Darari, S.Pd., M.Pd. Putri Harliana, S.T., M.Kom. Philips Pasca G. Siagian, S.Pd., M.Pd.

Seksi Acara

Ade Andriani, S.Pd., M.Si. Dra. Nurliani Manurung, M.Pd. Dra. Katrina Samosir, M.Pd. Kairuddin, S.Si., M.Pd. Ichwanul Muslim Karo Karo, M.Kom.

Konsumsi

Faridawaty Marpaung, S.Si., M.Si. Marlina Setia Sinaga, S.Si., M.Si. Erlinawaty Simanjuntak, S.Pd., M.Si.

Dokumentasi

Rizki Habibi, S.Pd., M.Si.



DAFTAR ISI

Kata Pengantar	I
Invite Speaker	ii
Editorial Team	iii
Daftar Isi	V
Daftar Artikel	
Dartar Artikei	
Pembangunan Script Python untuk Menunj <mark>ukkan S</mark> olusi dari Persamaan Diferensial Menggunakan Metode Extended Runge-Kutta	
Khan A. J. M, Rangkuti Y. M., Nianda N., Hidayanti R	1
Kilali A. J. W., Kaligkuti T. W., Malida N., Hidayaliti K	
Pengembangan LKPD Berbasis PBL Untuk Meningkatkan Kemampuan Pemecahan	
Masalah Matematis Siswa SMP	4.0
Saragih, B. M., & Fuazi, M. A	12
Pengambilan Keputusan Pemberian Kredit Menggunakan Metode Fuzzy Weighted	
Product Pada KSP3 Nias Cabang Gunungsitoli	
Hutapea, T.A., & Lase, K.N.	22
Peramalan Tingkat Inflasi Indonesia Menggunakan Machine Learning Dengan	
Metode Backpropagation Neural Network	24
Situngkir, K. M.	31
Pengembangan Media Pembelajaran Matematika Berbasis Video Menggunakan Aplik	asi
Canva Untuk Meningkatkan Pemahaman Konsep Matematika Peserta Didik	
Siregar, A. V. & Sitompul, P.	41
Pengembangan Aplikasi Edutainment Berbasis Game Based Learning untuk	
Meningkatkan Kemampuan Spasial Matematis Siswa SMA	- 4
Syaputra, F., & Siregar, T. M.	51
Pengaruh Pendekatan Matematika Realistik Berbantuan GeoGebra Terhadap	
Kemampuan Berpikir Komputasi Peserta Didik Kelas VIII	
Saragih, C. A.Z. & Simanjuntak, E	61
Respon Positif Model Pembelajaran PMRI Berbasis Batak Toba Untuk Meningkatkan	
Kemampuan HOTS Silaban, P. J., Sinaga, B., & Syahputra, E	70
Silaban, P. J., Sinaga, B., & Syanputra, E	70
Optimalisasi Pemahaman Konsep Matematis: Pengembangan Media E-Komik	
Digital Berbasis Pendekatan RME pada Siswa SMP PTPN IV Dolok Sinumbah	
Limbong, D. K., & Fauzi, M. A	80
Revolusi Pembelajaran Matematika: Pengembangan E-Modul Interaktif dengan Model	
SAVI untuk Siswa SMP	00
Purba, I. N., & Hia, Y	89



Metode Runge-Kutta Kuntzmann Berbasis Rerata Pangkat P=1/2 Azzaki, F. A., Sinabariba, A. A., & Azzahra, D. P. 96	,
Deep Learning untuk Matematika: Pengenalan Rumus dengan Convolutional Neural Network Tampubolon, A. P. H. S. M	5
Pengaruh Model Pembelajaran PBL Berbantuan Canva terhadap Hasil Belajar HOTS Materi Menggunakan Data Kelas VII Anaiyah, N	-
Pengaruh Model Pembelajaran Kooperatif TipeThe Power of Two Terhadap Keahlian Komunikasi Matematis Siswa Siahaan, E. E., Manurung, N., & Siagian, P. P. G.	2
Optimasi Jumlah Produksi Toko Kuala Jaya Menggunakan Metode Branch and Bound (Studi Kasus: Toko Kuala Jaya, Pantai Labu) Pandiangan, W. P. 130)
Pengelompokan Pasien dengan Faktor Penyakit Jantung Menggunakan Metode Principal Component Analysis dan K Nearest Neigbors Hutapea, B. A.	7
Perbandingan Proporsionalitas Metode Sainte-Laguë dan D'Hondt dalam Penentuan Alokasi Kursi Legislatif Menggunakan Indeks Least Squares Wulandari, G. A., & Sutanto 148	3
Penentuan Penerima Bantuan Langsung Tunai Dana Desa Menggunakan Metode Fuzzy Analytical Hierarchy Process (AHP) Lumbanraja, I. A., & Hutapea, T. A.	7
Maksimalisasi Keuntungan pada UMKM Batagor dan Tahu Walik Menggunakan Metode Simpleks dan POM-QM Maria, N. S., Marbun, M., Zendrato, M. A., Silalahi, N. D., Zandroto, N., Rizki, P., & Tarigan, P.	,
Optimalisasi Produksi Bakpao dengan Program Linier Menggunakan Metode Simpleks pada Usaha Bakpao Jumat Berkah Saragih, A. G., Wardana, A., Khumairah, A., Adhawina, R., Gisty, R. A., Angraini, S., &	
Simanjuntak, E	
Pengaruh Pendekatan Matematika Realistik Berbantuan Macromeda Flash Terhadap Kemampuan Koneksi Matematis Siswa Kelas VIII SMP Negeri 1 Nibung Hangus) Wahyuni, S., & Nasution, H.)
Maksimasi Keuntungan Dari Penjualan Freenchies Tahu. Go Outlet Tempuling Dengan Menggunakan Linear Programming Metode Simpleks dan Aplikasi Operational Research Tarigan, G. H., Putri, I., Simanungkalit, I., Sitepu, I. D. A., Khafifah, S., Tampubolon, S. T. V. & Simbolon, S. S. D.	



Pengembangan Hypoyhetical Learning Trajectory untuk Mendukung Pemahaman Ko Luas Bangun Datar pada Siswa Kelas VII	nsep
Kasiani, P. & Nasution, A. A.	197
Pembangunan Syntax Python berbasis Metode Runge Kutta Orde Kelima Tahap Keer untuk Menyelesaikan Masalah Nilai Awal	ıam
Manurung, E. V., Rangkuti, Y. M., Faris, M., & Lestari, D.	208
Pembangunan Python Script berdasarkan Metode Runge-Kutta Orde Lima berbasis p Rata-rata Heronian untuk Menyelesaikan Model Lengan Robot yang diperkecil	
Gultom, J. M., Permadi, W. W., Pohan, N. R. K., & Rangkuti, Y. M.	216
Pembangunan sintax Python berbasis Metode Modifikasi Runge-Kutta Verner untuk menunjukkan perilaku bulliying	201
Ramadhan, R., Rangkuti, Y. M., Paul, I., & Calista, A.	224
Pembangunan Algoritma Runge-Kutta Fehlberg dengan Python untuk menyelesaikar Sistem Osilasi Harmonik	
Fahrezi, B. A., Istiara, S., M Siregar, M. R. D., & Rangkuti, Y. M.	232
Klasifikasi Kerusakan pada Gigi Manusia dengan Menggunakan Metode Ekstraksi Fitu Hybrid dan Algoritma KNN	ır
Pohan, N. R. K., Fadluna, E. P., Ananda, D., & Kiswanto, D.	240
Analisis Dinamik Sistem Reaksi Difusi Model Fitzhugh-Nagumo Manurung, D. R. M., & Sitompul, P.	250
Estimator Modified Jackknife untuk Mengatasi Multikolinieritas pada Regresi Poisson (Studi Kasus: Angka Kematian Bayi di Provinsi Sumatera Utara)	
Nadya, F., & Manulang, S.	261
Peran Etnomatematika Budaya Melayu Terhadap Pembelajaran Matematika di Sekola Wahyuni, F.	
Filosofi Pembelajaran Berdifferensiasi Dalam Pembelajaran Matematika Ditinjau dari Kearifan Lokal Batak Toba	
Simanjuntak, S. D. & Sitepu, I.	283
Strategi Optimalisasi Keuntungan Usaha Jus Buah melalui Metode Simpleks Siagian, J. A., Naibaho, J. S., Lestari, J. A., Lubis, S. I. A. R., Sidauruk, V. P., Saput	
A., & Simanjuntak, E.	290
Model Regresi Data Panel dalam Menentukan Faktor yang Berpengaruh Terhadap Ti Stunting di Provinsi Sumatera Utara	
Dalimunthe, I. Z., & Simamora, E.	296
Analisis Kesalahan Siswa dalam Menyelesaikan Masalah Geometri Menggunakan Nev Error Analysis (NEA) pada Pendekatan Matematika Realistik Di SMP Negeri 43 Medar	



Penyebaran COVID-19: Pendekatan Numerik dengan Python Hidayat, M. F., Rangkuti, Y. M., Nasution, S. A. B., & Ginting, J. A. P.	316
Pengembangan Video Pembelajaran Matematika Berbasis Model Pembelajaran Koop Tipe STAD untuk Meningkatkan Motivasi Belajar Siswa SMP Kelas VIII Sinaga, E. P., & Sitompul. P.	erati 326
Pengoptimalan Seleksi Tim PON Esports Mobile Legends Perwakilan Sumatera Utara Menggunakan Metode Algoritma Genetika dan Regresi Linear Berganda Silitonga, R. & Febrian, D.	335
Optimalisasi Pemilihan Pupuk Sawit Terbaik di PTPN IV Marihat dengan Metode WAS Parinduri, M.A. & Sinaga, L. P.	
Pengembangan E-Modul Berbasis STEAM Untuk Meningkatkan Kemampuan Pemeca Masalah Matematis Siswa Di SMP Negeri 1 Patumbak Nasution, N. H., & Samosir, K.	han 351
Penggunaan Metode Simpleks dalam Mengoptimalisasi Keuntungan Penjualan Es Ku Waruwu, F., Andini, C. R., Simamora, D. K., Febrianti, D. A., Simamora, E. F., Tambunan, E. E., & Silaban, G. S.	
Pengaruh Model Pembelajaran Discovery Learning Berbantuan Geogebra terhadap Kemampuan Penalaran Matematis Siswa Kelas VIII SMPN 35 Medan Bakara, N. E. E.	367
Pemodelan Waktu Keberangkatan Bus pada Angkutan antar Kota antar Provinsi Jalur Semarang- Surabaya Menggunakan Aljabar Max-Plus Muzammil, A., & Arifin, A. Z.	374
Pembangunan Python Berdasarkan Metode Runge-Kutta Order Keempat Berbasis Ra Harmonik Untuk Menunjukan Perilaku Chaotic Sistem Ro'Ssler Tambunan, L., Sidabutar, Y. S. M., Harahap, J. & Rangkuti, Y. M.	taan 380
Implementasi Graf Dan Metode Webster Dalam Optimasi Pengaturan Lampu Lalu Lin (Studi Kasus: Simpang Pemda Flamboyan Raya) Manurung, Y. T. F., & Hutabarat, H. D. M.	tas 389
Etnomatematika Alat Musik Simalungun Gondang Sipitupitu Situngkir, F. L., Gultom, S., & Simanjorang, M.	396
Pembangunan Algortima Metode Runge-Kutta Orde Ketiga Rataan Aritmatika untuk melihat dinamika Penyebaran penyakit Demam Berdarah Manurung, G. K. D., Safitri, E., Sibarani, R. H. R., & Rangkuti, Y. M.	403
Upaya Meningkatkan Kemampuan Representasi Matematis Peserta Didik Kelas VII Menggunakan Model Pembelajaran Kontekstual Handari, I. S. & Sitompul, P.	413



Simulasi Monte Carlo dalam Memprediksi Distribusi Kursi DPR RI Jawa Tengah denga Metode Sainte-Lague	n
· · · · · · · · · · · · · · · · · · ·	421
Penerapan Fuzzy Logic Tsukamoto dalam Memprediksi Jumlah Stok CPO Tahun 2024 PTPN IV Unit Dolok Ilir Anggriani, D. & Hutapea, T. A.	1 di 431
Aplikasi Model ARIMA dan Modifikasinya dalam Peramalan Jumlah Penumpang di Pelabuhan Tanjung Perak Rizal, J., Lestari, S. P., & Tolok A. N.	439
Prediksi Harga Penutupan Saham BBCA dan BBNI dengan Algoritma K-Nearest Neigh Saragih, E. N.	nbor 452
Perbedaan Kemampuan Komunikasi Matematis Peserta didik Menggunakan Model PE dan Model DL Hutahaean, B. N., & Widyastuti, E.	BL 461
Pengembangan Media Pembelajaran Interaktif Berbantuan Articulate Storyline Untuk Meningkatkan Kemampuan Pemecahan Masalah pada Peseta Didik Kelas XI SMA Debora, C. E., & Siagian, P.	465
Studi Literatur: Inovasi Pembelajaran Matematika pada Era Kolaboratif Tania, W. P.	471
Efektivitas LKPD Berbantuan Classpoint untuk Meningkatkan Minat Belajar Siswa Kelas Cahyani, A. P. R., & Siregar, T. M.	s VIII 479
Pengembangan Media Interaktif Berbasis Android Berbantuan Articulate Storyline Un Meningkatkan Kemampuan Penalaran Matematis Pane, A. W. S., & Purba, G. I. D.	tuk 486
Sistem Pendukung Keputusan Pemilhan Laptop Terbaik dengan Pendekatan Gabunga AHP dan TOPSIS (Studi Kasus: FMIPA UNIMED). Tampubolon, J.	an 494
Pembelajaran Aljabar di SMP Dengan Pendekatan Game melalui Metode Drill and Pradalam Pengembangan Aplikasi Cymath Lubis, R. A., Irvan, & Azis, Z.	actice
Analisis Kecanduan Game Online dengan Model SEIPTR Carli, S. G., & Sinaga, L. P.	515
Pengembangan Media Pembelajaran Berbasis Web dengan Pendekatan Problem Bas Learning (PBL) pada Materi Scratch Kelas VII SMP Ahmad, F. L., Nugroho, A. L., Anjarsari, D. D., Rahmayanti, R., & Ningrum, G. D. K	



Upaya Meningkatkan Pemahaman Konsep Matematika pada Peserta Didik Autisme melalui Explicit Instruction dengan Media Permainan Edukatif Agustia, A.	536
Analisis Perbandingan Proporsionalitas Metode Andre Sainte-Lague dan Modifikasin pada Alokasi Kursi Pemilu Legislatif DPR RI Jawa Tengah 2024 Fourindira, D. A. & Sutanto	ya 545
Pengembangan Media Pembelajaran Web Interaktif Menggunakan Pendekatan Berdiferensiasi Pada Elemen Teknologi Informasi Dan Komunikasi Dengan Model Pra Based Learning Alfan, M., Faisal, R., & Aprilianto, P.	oblem 556
Alian, M., Faisai, K., & Aprillanto, F.	330
Penerapan Regresi Semiparametrik Spline Truncated dalam Memodelkan Angka Har Hidup di Sumatera Utara	
Wulan, C. W. & Mansyur, A.	567
Analisis Prediksi Saham Emas PT Aneka Tambang (Tbk) Menggunakan Long Short-Te Memory (LSTM) dan Gated Recurrent Unit (GRU)	∍rm
Luxfiati, N. A., & Bustamam, A.	578
Penerapan Algoritma Genetika Dalam Optimasi Komposisi Menu Makanan bagi Penerapan Stroke	derita
Ritonga, Y. A. &Ahyaningsih, F.	584
Analisis Faktor-Faktor yang Mempengaruhi Pertumbuhan Ekonomi di Sumatera Utara Menggunakan Regresi Data Panel Naibaho, H. M., & Khairani, N.	a 593
Peningkatan Kemampuan Komunikasi Matematis Peserta Didik Kelas X dengan Pembelajaran Berbasis Proyek Kolaboratif Berbantuan Media Canva	
Saragih, G. P.	601
Implementasi Pembelajaran Kooperatif Tipe TGT Untuk Meningkatkan Hasil Belajar Matematika Siswa SMP Islam Al-Fadhli	/ 4 4
Cindey, T. A. M., & Hasratuddin	611
Pengembangan E-Modul Berbasis Smart Apps Creator 3 untuk Meningkatkan Kemampuan Pemecahan Masalah Matematis Peserta Didik Kelas VIII MTs	
Zain, D. & Kairuddin	621
Analisis Kesulitan Siswa dalam Menyelesaikan Soal Program Linier Berbantuan Kalku	lator
Elfina, H.	631
Pengembangan Media Pembelajaran Matematika Berbasis Komik Digital Untuk Meningkatkan Minat Belajar Siswa Kelas VII SMP Negeri 17 Medan	
Banurea, L. K., & Siregar, T. M.	642



Pengaruh Model Pembelajaran Kooperatif Tipe Jigsaw Terhadap Kemampuan Konek Matematis Siswa SMP Negeri 15 Medan	si
Hutagalung, A. F. S., & Siregar, N.	651
Pengaruh Kepercayaan Diri (Self Confidence) terhadap Hasil Belajar Matematika Sisw Ginting, E. R., & Simanjorang, M. M.	
Penerapan Pembelajaran Kontekstual Berbantuan Aplikasi Desmos untuk Meningkatk Kemampuan Komunikasi Matematis Siswa SMA Elfani, E.	kan 669
Analisis Kemampuan Pemecahan Masalah Matematis Siswa Ditinjau dari Gaya Belajar Dibelajarkan dengan Model PBM Sinaga, A. P., & Simanullang, M. C.	yang 679
Pemetaan Tenaga Kesehatan di Provinsi Sumatera Utara Menggunakan Metode Multidimesional Scaling Silaban, A. & Susiana	687
Pengembangan Video Pembelajaran Matematika Menggunakan Powtoon untuk Meningkatkan Kemampuan Pemecahan Masalah Matematis Siswa di SMP Negeri 1 Ke Fazriani, A., & Sagala, P. N.	uala 697
Penerapan Metode Adams-Bashfort-Moulton pada Persamaan Logistik dalam Memprediksi Pertumbuhan Penduduk di Provinsi Sumatera Utara Hasibuan, Z. A. E., & Ritonga, A.	705
Efektivitas Model Pembelajaran Discovery Learning Terhadap Kemampuan Literasi Numerasi Siswa Kelas VII Di UPT SMP Negeri 37 Medan Talaumbanua, B. N.	715
Perbedaan Kemampuan Pemecahan Masalah Diajarkan dengan Model Pembelajaran Berbasis Masalah dan Pendidikan Matematika Realistik Indonesia Sipayung, E. N., & Napitupulu, E. E.	
Pengembangan Lembar Kerja Peserta Didik (LKPD) Berbasis Etnomatematika Berban Classpoint untuk Meningkatkan Minat Belajar Siswa Kelas VII Tobing, E. L., & Siregar, T. M.	
Pengaruh Model Pembelajaran Numbered Head Together Terhadap Kemampuan Be Kritis Matematis Siswa Yuwinda, F., & Napitupulu, E. E.	400
Peran Pendekatan Pembelajaran Matematika Realistik melalui Budaya Melayu pada Pembelajaran Matematika	745
Meningkatkan Penalaran Matematis Siswa SMP melalui Video Animasi Berbasis Proble Based Learning dengan Animaker Simbolon, P., & Manurung, N.	



Lehmer dengan Python untuk Menyelesaikan Persamaan Diferensial Ananda, D., Telaumbanua, L. Y., Nazla, K., & Rangkuti, Y. M.	
Pembelajaran Matematika SD Dengan Model Kontekstual Berbasis Kearifan Lokal Go Royong Pada Suku Batak Toba Silalahi, T. M.	
Analisis Regresi Weibull terhadap Determinan Laju Pemulihan Klinis Pasien Penderita Stroke Harahap, S., & Febrian, D.	785
Pengembangan Media Matematika Digital Berbasis Pendidikan Matematika Realistik Untuk Meningkatkan Kemampuan Pemahaman Konsep Matematis Siswa SMP Negeri Medan	
Napitupulu, S. S., & Kairuddin.	795
The Effect of The Problem-Based Learning Model on Students' Mathematics Problem Solving Abilities Sitinjak, W. B. C., & Napitupulu, E. E.	805
Peran Media Komik Berbasis Budaya Lokal Tapanuli Selatan dalam Pembelajaran Matematika SD Siregar, Y. A.	813
Pengembangan LKPD untuk Meningkatkan Kemampuan Berpikir Kritis Peserta Didik Pembelajaran Kooperatif Tipe Snowball Throwing di Kelas VIII SMP Zuhrah, S. A.	
Pembangunan Script Python untuk menunjukkan perbandingan antara Metode RK6, Metode RK4 Ulwan, M. A. N., Pratiwi, I. A., Suana, M. Z., & Rangkuti, Y. M.	
	031
Penerapan Metode Naive Bayes dalam Memprediksi Kepuasan Pasien Terhadap Pelayanan Rumah Sakit (Studi Kasus: Rumah Sakit Umum Haji Medan) Syadia, R. & Kartika D.	838
Penerapan Rantai Markov dalam Menganalisis Tingkat Persaingan Ojek Online Saputri, A. N., & Ritonga, A.	844
Pembangunan Python untuk menunjukkan Keakuratan Metode Modifikasi RK4 dibandingkan dengan Metode RK Merson untuk MNA Fadluna, E. P., Saragih, R. Z. F., Alamsyah, R., & Rangkuti, Y. M.	952
Penerapan Analytical Hierarchy Process dalam Menentukan Pemilihan Dompet Digita Wallet) yang Terpercaya Pada Sektor UMKM di Kecamatan Percut Sei Tuan Hartati, S., & Ahyaningsih, F.	
Pengaruh Model Pembelajaran Kooperatif Tipe Think Talk Write Terhadap Kemampu Komunikasi Matematis Siswa SMA Negeri 1 Hamparan Perak	
Nabila, F., Surva, E.	871

Analisis Dinamik Sistem Reaksi Difusi Model Fitzhugh– Nagumo

Desy Ruth Meylinda Manurung^{1*}, Pardomuan Sitompul²

1,2 Jurusan Matematika, Fakultas Matematika dan Ilmu Pengetahuan Alam, Universitas Negeri Medan, Medan 20221, Sumatera Utara, Indonesia
*Coresponding Author: rdesy185@gmail.com

Abstrak, sistem saraf adalah jaringan yang sangat kompleks yang bertanggung jawab untuk mengatur semua aktivitas dalam tubuh. Model FitzHugh–Nagumo adalah sistem reaksi-difusi yang digunakan untuk memodelkan konduksi impuls listrik di sepanjang serabut saraf. Penelitian ini bertujuan untuk menganalisis pengaruh ambang batas *a* pada model FitzHugh-Nagumo dan mengetahui kestabilan titik kesetimbangan model tersebut. Metode yang digunakan adalah penelitian kepustakaan untuk analisis matematik dan simulasi model. Hasilnya menunjukkan bahwa metode Finite Difference dengan syarat batas Neumann memastikan perubahan potensial membran mengikuti aturan yang diberikan. Sistem potensial membran neuron presinaptik cenderung mengalami repolarisasi dengan peningkatan efek difusi dan hiperpolarisasi dengan peningkatan kecepatan perubahan potensial, namun akan depolarisasi jika keduanya seimbang, sementara sistem potensial membran neuron postsinaptik tetap stabil dan mengalami depolarisasi.

Kata kunci: Fitzhugh-Nagumo; Metode Finite Difference; Sistem Saraf

Abstract, the nervous system is a highly complex network responsible for regulating all activities in the body. The FitzHugh-Nagumo model is a reaction-diffusion system used to model the conduction of electrical impulses along nerve fibers. This study aims to analyze the effect of a threshold on the FitzHugh-Nagumo model and determine the stability of the equilibrium point of the model. The method used is literature research for mathematical analysis and model simulation. The results show that the Finite Difference method with Neumann boundary conditions ensures that membrane potential changes follow a given rule. The presynaptic neuron membrane potential system tends to repolarize with an increase in the diffusion effect and hyperpolarize with an increase in the speed of potential change, but will depolarize if the two are balanced, while the postsynaptic neuron membrane potential system remains stable and depolarizes.

Keywords: Fitzhugh-Nagumo, Finite Difference Method, Neural System

Citation : Manurung, D. R. M., & Sitompul, P. (2024). Analisis Dinamik Sistem Reaksi Difusi Model Fitzhugh–Nagumo. *Prodising Seminar Nasional Jurusan Matematika* 2024. 250 – 260

PENDAHULUAN

Matematika telah memberikan kontribusi besar terhadap kemajuan pengetahuan dan teknologi. Salah satu aspeknya adalah model matematika, yang merupakan bagian penting dari perkembangan ini. Setelah model dibangun, langkah selanjutnya adalah menyelesaikan persamaan yang telah dibuat. Menemukan solusi persamaan ini merupakan langkah penting yang menghubungkan rumus matematika dengan kehidupan nyata. Dengan kata lain pemodelan matematika adalah proses membangun model matematika untuk menggambarkan dinamika suatu sistem (Sutimin, 2007). Pemodelan matematika adalah cabang dari matematika terapan yang sangat penting dan bermanfaat. Salah satu aplikasi pemodelan matematika adalah dalam masalah sistem saraf. Model FitzHugh—Nagumo adalah sistem reaksi-difusi terkenal yang pertama kali diperkenalkan oleh Hodgkin dan Huxley untuk konduksi impuls listrik di sepanjang serabut saraf. Beberapa model matematis untuk neuron biologis yang mewakili perilaku neuron dalam hal potensi membran telah dikembangkan seperti model Hodgkin-Huxley (1952), model FitzHugh (1969), model Morris-Lecar (1981), model Hindmarsh-Rose (1984), khususnya model Hodgkin-Huxley yang menjadi motivasi persamaan

Transformasi, Rekonstruksi, dan Integrasi Keilmuan dalam Pembelajaran Matematika Menuju Era Inovasi dan Kolaborasi Medan, 20 November 2024

FitzHugh–Nagumo yang mengekstrak perilaku esensial dalam bentuk sederhana. Seperti yang diketahui bahwa difusi ion ada di mana-mana ketika ion melewati sitomembran, jadi haruslah dipertimbangkan efek difusi pada sistem. Hal ini pernah dibahas oleh (Dikansky, 2005), ia menambahkan difusi ke sistem, dan memperoleh sistem reaksi-difusi sebagai berikut.

$$u_t = Du_{xx} + u(1 - u)(u - a(x)) - v \tag{1}$$

$$v_t = \varepsilon (gu - bv - d) \tag{2}$$

Sistem Persamaan Diferensial (SPD) adalah gabungan beberapa persamaan diferensial yang terdiri dari dua atau lebih persamaan yang saling terikat. Suatu SPD dapat diklasifikasikan ke dalam dua kelompok, yaitu SPD linier dan SPD nonlinier. Adapun Bentuk sistem linier persamaan diferensial biasa, persamaan (3) (Perko, 2001), dimana $x \in R^n$ dan A adalah sebuah matriks $n \times n$ persamaan (4)

$$\dot{x} = Ax \tag{3}$$

$$\dot{x} = \frac{dx}{dt} = \begin{bmatrix} \frac{dx_1}{dt} \\ \vdots \\ \frac{dx_n}{dt} \end{bmatrix}$$
(4)

Kestabilan dari titik kesetimbangan dapat diketahui dari solusi persamaan diferensialnya. Namun, tidak semua persamaan diferensial dapat ditentukan dengan mudah solusi eksaknya. Dalam hal ini, metode pelinieran dapat digunakan untuk menentukan apakah titik kesetimbangan tersebut bersifat stabil atau tidak di sekitar titik kesetimbangan (Boyce, 2001)

Sistem saraf terdiri dari jutaan neuron. Fungsi utama neuron adalah mengirimkan pesan berupa rangsangan atau tanggapan (Oswari, 2008). Organ efektor seperti otot dan kelenjar merupakan sel atau organ yang memberikan respon terhadap rangsangan (Yunita, 2009). Reseptor nyeri, yang juga dikenal sebagai nosiseptor, diaktifkan oleh rangsangan ini dan mengubahnya menjadi impuls saraf yang kemudian ditransmisikan dan diproses oleh sistem saraf pusat (Sukmawati, 2023). Impuls saraf menembus membran sel saraf sebagai potensial aksi. Proses ini didukung oleh adanya reseptor pada membran neuron, sehingga ketika aksoplasma (sitoplasma akson) bergerak, tidak menghalangi transmisi impuls saraf. Potensi aksi terjadi di sepanjang membran sel dan bergantung pada perbedaan konsentrasi ion natrium dan kalium di antara lingkungan intraseluler dan ekstraseluler. Perbedaan konsentrasi ini dipertahankan oleh enzim yang ada di membran sel yang disebut Na-K-ATPase, atau pompa Na-K. Pompa Na-K mengeluarkan tiga ion natrium dari sel dan membawa dua ion kalium ke dalam sel. Perbedaan konsentrasi ini menimbulkan potensial positif di luar membran sel dan potensial negatif di dalam sel.

Tingkat degradasi potensial membran, atau lebih tepatnya kecepatan repolarisasi dan pemulihan potensial membran setelah eksitasi, tidak memiliki nilai tetap yang universal. Ini bervariasi tergantung pada jenis sel (misalnya, neuron, sel otot jantung, dll.), lokasi, serta faktor-faktor lainnya seperti saluran ion dan mekanisme pengaturan. Setelah potensial aksi, membran neuron kembali ke potensial istirahat melalui repolarisasi. Ini terjadi ketika saluran ion natrium (Na⁺) tertutup, dan saluran ion kalium (K⁺) terbuka, memungkinkan ion K⁺ mengalir keluar dari sel, memulihkan kondisi negatif di dalam sel. Durasi repolarisasi di neuron biasanya dalam skala milidetik (1-5 m/s), sementara di sel otot jantung, proses ini bisa memakan waktu 200-300 milidetik tergantung pada jenis sel dan kondisi fisiologis (Susuki, 2008).

Ion Na+ dengan mudah mengalir keluar dalam otot jantung, maka setelah repolarisasi, terjadi depolarisasi spontan saat ion Na+ kembali ke dalam sel, yang merupakan fenomena di mana ambang batas dan tegangan beroperasi tanpa rangsangan eksternal. Sel otot jantung yang mencapai nilai ambang batas dan potensial aksi pada laju tetap disebut laju alami atau laju basal membran sel (Irawati, 2015). Adapun kajian ini bertujuan untuk menganalisis pengaruh ambang batas a pada model Fitzhugh-Nagumo dan mengetahui simulasi kestabilan titik kesetimbangan model Fitzhugh-Nagumo pada ambang batas a.

METODE PENELITIAN

Melalui analisis matematis, penelitian ini ialah studi pustaka atau riset kepustakaan (*Library Research*). Melalui analisis matematis, penelitian ini akan mengeksplorasi dinamika sistem reaksi difusi model FitzHugh-Nagumo dan melakukan simulasi terkait. Data untuk penelitian ini diperoleh dari sumbersumber seperti buku referensi, jurnal ilmiah, dan dokumen terkait lainnya. Jenis data yang digunakan adalah data sekunder dari hasil penelitian sebelumnya. Berikut langkah-langkah yang digunakan untuk mencapai tujuan penelitian tersebut adalah mengumpulkan teori pendukung, menyajikan sistem reaksi difusi model fitzhugh–nagumo, menentukan titik kesetimbangan sistem reaksi difusi model fitzhugh–nagumo, menganalisis kestabilan titik kesetimbangan dengan melakukan linearisasi menggunakan metode beda *finite difference*, menentukan nilai parameter ε dan *D* berdasarkan kondisi ambang batas a, melakukan simulasi numerik metode finite difference dengan bantuan matlab dan menarik kesimpulan.

HASIL DAN PEMBAHASAN

Sistem persamaan FitzHugh-Nagumo (FHN) termasuk dalam kelas umum persamaan difusi reaksi (rd) dengan solusi bergelombang. Ini telah digunakan sebagai sistem rangsang umum untuk menangkap rincian penting tentang pembentukan pola dalam berbagai sistem rangsang, termasuk yang berkaitan dengan konduksi saraf dan jantung, serta sistem ekologi dan kimia.

$$u_t = Du_{xx} + u(1 - u)(u - a) - v \tag{5}$$

$$v_t = \varepsilon (gu - bv - d) \tag{6}$$

Dimana, $u_t = Du_{xx} + u(1-u)(u-a(x)) - v$; $v_t = \varepsilon(gu-bv-d)$; $u(x,0) = u_0(x)$; $u(x,0) = u_0(x)$ dan $u_{x(0,t)} = u_x(L,t) = 0$. Untuk perhitungan numerik, sistem FHN diselesaikan di wilayah $x \in [0,L]$ dengan kondisi batas fluks nol dan kondisi awal di t=0. Difusi Spasial D pada dasarnya memengaruhi sejauh mana informasi atau potensial membran dapat merata atau menyebar dalam ruang. Ini adalah faktor penting dalam membentuk pola dan dinamika sistem neuron, dan dapat mempengaruhi bagaimana neuron berinteraksi dan berkomunikasi satu sama lain dalam jaringan. Nilai D yang tinggi dapat menghasilkan efek difusi yang lebih kuat, sementara nilai yang rendah dapat menghasilkan efek difusi yang lebih terlokalisasi atau terbatas. Jika D tinggi, potensial membran u dapat lebih cepat menyebar, memungkinkan neuron untuk berkomunikasi lebih efisien dalam jaringan.

Titik Equilibrium

Ada model matematika Fitzhugh-Nagumo akan dicari titik equilibrium dengan cara membuat sistem tersebut dalam kondisi konstan terhadap waktu, yaitu kondisi dimana:

$$\frac{du}{dt} = 0 , \frac{dv}{dt} = 0$$
$$u(1 - u)(u - a) - v = 0$$

Transformasi, Rekonstruksi, dan Integrasi Keilmuan dalam Pembelajaran Matematika Menuju Era Inovasi dan Kolaborasi Medan, 20 November 2024

$$v = u(1-u)(u-a)$$

 $v = u$; $v = (1-u)$; $v = (u-a)$

Substitusi nilai v ke persamaan (gu-bv-d=0). Substitusi nilai v=u persamaan gu-bv-d=0 menjadi gu-bu-d=0 sehingga diperoleh $u=\frac{d}{g-b}$ dan diperoleh nilai g>b. Kemudian untuk substitusi nilai v=(1-u), maka persamaan menjadi gu-b(1-u)-d=0, akan diperoleh persamaan $u=\frac{b+d}{g+b}$. Selannya jika persamaan disubstitusi nilai v=(u-a) maka persamaan akan menjadi gu-b(u-a)-d=0 dan akan diperoleh persamaan $u=\frac{d-ba}{g-b}$. Adapun untuk mendapatkan solusi dari $u=\frac{d-ba}{g-b}$, gu-bv-d=0 dan $v=\frac{gu-d}{b}$ dan jika disubtitusikan ke u(1-u)(u-a)-v=0, maka diperoleh $u(1-u)(u-a)-\frac{gu-d}{b}=0$. Dengan demikian akan diperoleh nilai u untuk persamaan di atas dan diperoleh 3 solusi yang bisa terjadi yaitu u_1,u_2 dan u_3 .

$$\begin{aligned} u_1 &= \frac{1}{6b} \Biggl(\left(8a^3b - 12a^2b - 12ab - 36ag + 12 \left(-\frac{1}{b} \left(3(a^4b^3 - 2a^3b^3 - 4a^3b^2d + 2a^3b^2g + a^2b^3 + 6a^2b^2d - 8a^2b^2g + a^2b^3 + 6a^2b^2d - 8a^2b^2g + a^2b^3 + 6a^2b^2d + 2ab^2g + 18abdg - 10abg^2 - 4b^2d - 27bd^2 + 18bdg + bg^2 - 4ag^3) \right)^{\frac{1}{2}} + 8b + 108d - 36g \Biggr) b^2 \Biggr)^{\frac{1}{3}} + \left(2(a^2b - ab + b - 3g) \right) \int \Biggl(3 \Biggl(8a^3b - 12a^2b - 12ab - 36ag + 12 \Biggl(-\frac{1}{b} \left(3(a^4b^3 - 2a^3b^3 - 4a^3b^2d + 2a^3b^2g + a^2b^3 + 6a^2b^2d - 8a^2b^2g + a^2b^2g + 6ab^2d + 2ab^2g + 18abdg - 10abg^2 - 4b^2d - 27bd^2 + 18bdg + bg^2 - 4ag^3) \Biggr) \Biggr)^{\frac{1}{2}} + 8b + 108d - 36g \Biggr) b^2 \Biggr)^{\frac{1}{3}} \Biggr)^{\frac{1}{4}} + \frac{a}{3} \end{aligned}$$

$$u_2 &= -\frac{1}{12b} \Biggl(\Biggl(8a^3b - 12a^2b - 12ab - 36ag + 12 \Biggl(-\frac{1}{b} \left(3(a^4b^3 - 2a^3b^3 - 4a^3b^2d + 2a^3b^2g + a^2b^3 + 6a^2b^2d - 8a^2b^2g + a^2b^3 + 6a^2b^2d - 27bd^2 + 18bdg + bg^2 - 4ag^3) \Biggr)^{\frac{1}{2}} + 8b + 108d - 36g \Biggr) b^2 \Biggr)^{\frac{1}{2}} + 8$$

$$a^{2}bg^{2} + 6ab^{2}d + 2ab^{2}g + 18abdg - 10abg^{2} - 4b^{2}d - 27bd^{2} + 18bdg + bg^{2} - 4ag^{3}))^{\frac{1}{2}} + 8b + 108d - 36g)b^{2})^{\frac{1}{2}})$$

$$u_{3} = -\frac{1}{12b}\left(\left(8a^{3}b - 12a^{2}b - 12ab - 36ag + 12\left(-\frac{1}{b}\left(3(a^{4}b^{3} - 2a^{3}b^{3} - 4a^{3}b^{2}d + 2a^{3}b^{2}g + a^{2}b^{3} + 6a^{2}b^{2}d - 8a^{2}b^{2}g + a^{2}b^{2}d + 2ab^{2}g + 18abdg - 10abg^{2} - 4b^{2}d - 27bd^{2} + 18bdg + bg^{2} - 4ag^{3})\right)^{\frac{1}{2}} + 8b + 108d - 36g)b^{2}\right)^{\frac{1}{3}}(a^{2}b - ab + b - 3g)/\left(3\left(\left(8a^{3}b - 12a^{2}b - 12ab - 36ag + 12\left(-\frac{1}{b}\left(3(a^{4}b^{3} - 2a^{3}b^{3} - 4a^{3}b^{2}d + 2ab^{2}g + 18abdg - 10abg^{2} - 4b^{2}d - 27bd^{2} + 18bdg + bg^{2} - 4ag^{3}\right)\right)^{\frac{1}{2}} + 8b + 108d - 36g)b^{2}\right)^{\frac{1}{2}}) + \frac{1}{3} + \frac{a}{3} - \frac{1}{2}\left(1\sqrt{3}\left(\frac{1}{ab}\left(\left(8a^{3}b - 12a^{2}b - 12ab - 36ag + 12a^{2}b - 12ab^{2}b - 12a$$

Pendekatan Numerik Model Fitzhugh-Nagumo

Pada bagian ini, akan dianalisis persamaan (5) dan (6) dengan pendekatan numerik metode *Finite Difference* sehingga diperoleh hasil sebagai berikut. Sehingga dapat ditulis menjadi:

$$f(x) = f(x_0) + f'(x_0)(x - x_0)$$

$$f'(x_0) = \frac{f(x) - f(x_0)}{(x - x_0)}$$
(7)

Adapun dengan persamaan (6), untuk turunan keduanya diperoleh,

$$f(x) \approx f(x_0) + f'(x_0)(x - x_0) + f''(x_0)(x - x_0)^2$$

$$f''(x_0)(x - x_0)^2 \approx f(x_0) + \frac{f(x) - f(x_0)}{x - x_0}(x - x_0)$$

$$f''(x_0)(x - x_0)^2 = 2f(x) - 2f'(x_0)$$

$$f''(x_0) = \frac{f(x_0) - f(x_0 - t)}{x_0 - t} \operatorname{dan} f''(x_0) = \frac{f'(x_0) - f'(x_0 - t)}{x - t} = \frac{f(x_0 + t) - f(x_0)}{x - t} - \frac{f(x_0) - f(x_0 - t)}{x - t}$$

$$\dim \operatorname{Ad} \Delta t = x - t, \text{ kemudian untuk persamaan (4) diperoleh hasil sebagai berikut.}$$

 $u_t = Du_{xx} + u(1 - u)(u - a) - v$

Transformasi, Rekonstruksi, dan Integrasi Keilmuan dalam Pembelajaran Matematika Menuju Era Inovasi dan Kolaborasi Medan, 20 November 2024

$$\frac{u_i^{n+1} - u_i^n}{\Delta t} = D\left(\frac{u_{i+1}^n - 2u_i^n + u_{i-1}^n}{\Delta x^2}\right) + u_i^n (1 - u_i^n)(u_i^n - a) - v_i^n$$

$$u_i^{n+1} - u_i^n = \Delta t \left[D\left(\frac{u_{i+1}^n - 2u_i^n + u_{i-1}^n}{\Delta x^2}\right) + u_i^n (1 - u_i^n)(u_i^n - a) - v_i^n\right]$$

$$u_i^{n+1} = \Delta t \left[D\left(\frac{u_{i+1}^n - 2u_i^n + u_{i-1}^n}{\Delta x^2}\right) + u_i^n (1 - u_i^n)(u_i^n - a) - v_i^n\right] + u_i^n$$
(8)

Kemudian untuk persamaan (3) diperoleh hasil sebagai berikut.

$$v_{t} = \varepsilon(gu - bv - d)$$

$$\frac{v_{i}^{n+1} - v_{i}^{n}}{\Delta t} = \varepsilon(gu_{i}^{n} - bv_{i}^{n} - d)$$

$$v_{i}^{n+1} - v_{i}^{n} = \Delta t[\varepsilon(gu_{i}^{n} - bv_{i}^{n} - d)]$$

$$v_{i}^{n+1} = \Delta t[\varepsilon(gu_{i}^{n} - bv_{i}^{n} - d)] + v_{i}^{n}$$
(9)

Dimana dimisalkan untuk $u_0 = \log(x+1)$ dan $v_0 = e^{-x}$, dengan kondisi awal; (1) $u(x,0) = u_0(x)$; (2) $v(x,0) = v_0(x)$ dan syarat batas Neumann, $u_{x(0,t)} = u_x(L,t) = 0$.

Simulasi Matlab

Pada bagian ini diberikan simulasi dari persamaan (8) dan (9). Simulasi numerik dilakukan untuk menggambarkan bagaimana pengaruh efek difusi (D) dan kecepatan perubahan potensial membran (ε) terhadap nilai ambang batas a. Berdasarkan (Dikansky,2005), didapat bahwa parameter a adalah nilai ambang batas konstan dengan nilai $\left(0 < a < \frac{1}{2}\right)$. Nilai *threshold* saraf (ambang eksitasi) adalah tingkat potensial membran yang harus dicapai untuk memicu potensial aksi, yang merupakan sinyal listrik yang digunakan neuron untuk berkomunikasi.

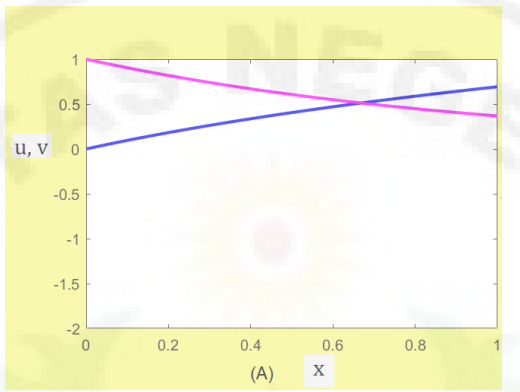
Ketika potensial membran suatu neuron mencapai nilai *threshold* ini, saluran ion natrium (Na+) pada membran sel akan terbuka, memungkinkan ion natrium mengalir ke dalam sel, sehingga terjadi depolarisasi cepat dan menghasilkan potensial aksi. Setelah potensial aksi terjadi, neuron akan mengalami repolarisasi dan kembali ke nilai potensial istirahatnya. Kemudian siap untuk diaktifkan kembali. Jadi, nilai threshold saraf di-excite adalah titik kritis yang menentukan apakah sebuah neuron akan menghasilkan potensial aksi sebagai respons terhadap rangsangan yang diterimanya. Berdasarkan persamaan $u = \frac{d}{g-b}$, diperoleh bahwa g > b. Parameter a adalah nilai ambang batas konstan dengan nilai $\left(0 < a < \frac{1}{2}\right)$.

Tabel 1. Nilai Parameter

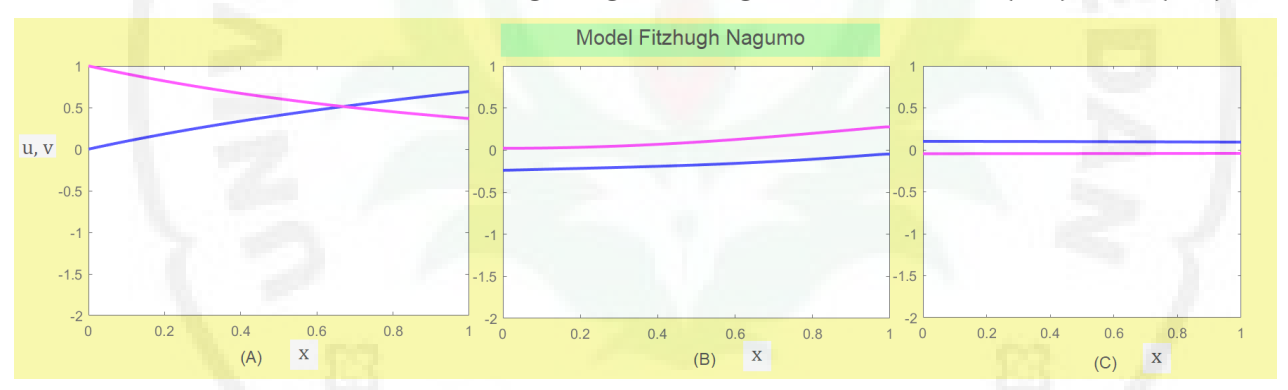
Parameter	Kasus I	Kasus II	Kasus III	Kasus IV	Kasus V	Kasus VI
а	0,5	0,5	0,5	0,75	0,75	0,75
g	0,8	0,8	0,8	0,8	0,8	0,8
b	0,5	0,5	0,5	0,5	0,5	0,5
d	0,1	0,1	0,1	0,1	0,1	0,1
D	0,05	0,075	0,05	0,05	0,05	0,075
${\cal E}$	0,05	0,05	0,1	0,05	0,1	0,05

Adapun untuk kondisi awal, diasumsikan $u_0 = \log(x+1)$ dan $v_0 = e^{-x}$, dengan syarat batas Neumann, $u_{x(0,t)} = u_x(L,t) = 0$. Berdasarkan gambar 1 diperoleh bahwasanya untuk kondisi awal u(x,0) menggambarkan Potensial membran di sepanjang membran sel neuron menghasilkan sinyal atau aksi potensial mengubah potensial membran istirahat dan memungkinkan Na+ (natrium) mengalir dengan cepat ke dalam sel melalui saluran natrium sehingga tegangan ambang akan

meningkat. Untuk kondisi awal v(x,0) mencerminkan kemampuan neuron postsinaptik untuk merespons sinyal dari neuron presinaptik dimana aliran ion kalsium melambat hingga terhenti, namun aliran ion kalium mengalir keluar membran sel terus berlanjut sehingga menyebabkan potensial membran menurun (lebih negatif).



Gambar 1. Model Fitzhugh Nagumo Dengan Kondisi Awal u(x, 0) dan v(x, 0)



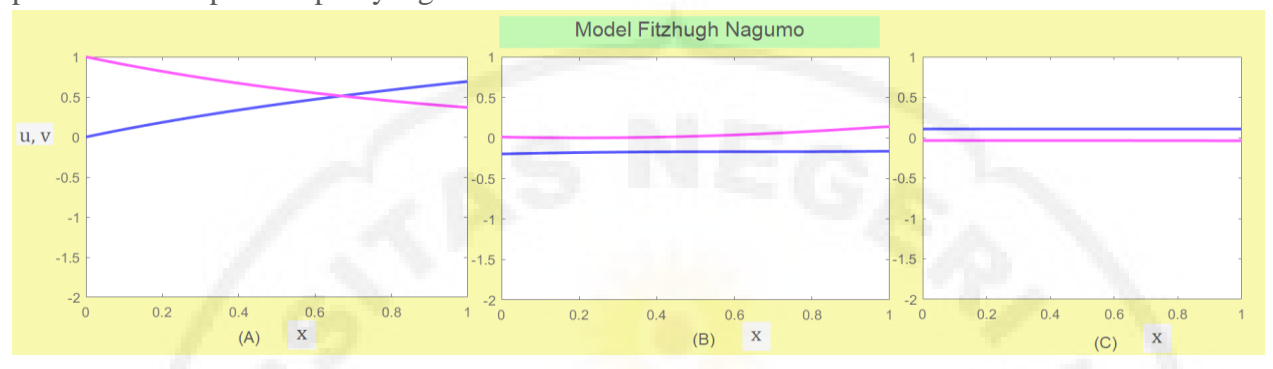
Gambar 2. Model Fitzhugh Nagumo Dengan Menggunakan Metode Beda Hingga dengan D=0.05 dan $\varepsilon=0.05$

Dari gambar 2 menunjukkan grafik hasil dari u(x,t) dan v(x,t) yang dimulai dengan nilai awal $u(x,0) = \log(x+1)$ dan $v(x,0) = e^{-x}$ dengan menggunakan metode beda hingga. Pada grafik tersebut dapat dilihat bahwa u(x,t) (potensial membran neuron presinaptik) mengalami penurunan dengan mengalami fase depolarisasi dan v(x,t) (potensial membran neuron postsinaptik) mengalami penurunan dengan fase depolarisasi pada iterasi ke 35. Kemudian potensial membran stabil, u(x,t) dan v(x,t) mengalami fase polarisasi (istirahat). Jika efek difusi dan kecepatan perubahan potensial sama maka Impuls saraf pada membran presinaptik mengalami percepatan dalam mengubah energi listrik dengan proses pengeluaran neuron transmitter yang kemudian pada membran postsinaptik juga mengalami percepatan dalam mengubah kembali energi listrik menjadi impuls yang diteruskan ke otak.

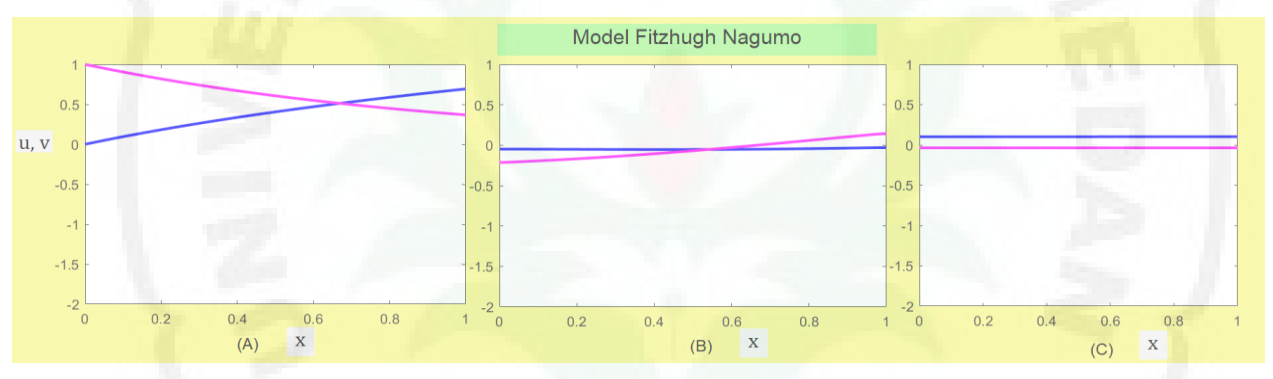
Dari gambar 3 menunjukkan grafik hasil dari u(x,t) dan v(x,t) yang dimulai dengan nilai awal $u(x,0) = \log(x+1)$ dan $v(x,0) = e^{-x}$ dengan menggunakan metode beda hingga. Pada grafik tersebut dapat dilihat bahwa u(x,t) (potensial membran neuron presinaptik) mengalami penurunan dengan mengalami fase polarisasi dan v(x,t) (potensial membran neuron postsinaptik) mengalami penurunan dengan fase depolarisasi pada iterasi ke 35. Kemudian potensial membran stabil, u(x,t) dan v(x,t) mengalami fase polarisasi (istirahat). Jika efek difusi dinaikkan ke 0.075 dan kecepatan perubahan potensial 0.05 maka impuls saraf pada membran presinaptik tidak mengalami perubahan yang artinya setelah pengeluaran neuron transmitter, impuls dalam keadaan

Transformasi, Rekonstruksi, dan Integrasi Keilmuan dalam Pembelajaran Matematika Menuju Era Inovasi dan Kolaborasi Medan, 20 November 2024

normal namun hal ini berdampak pada percepatan pengubahan neuron transmitter menjadi impuls pada membran postsinaptik yang diteruskan ke otak.



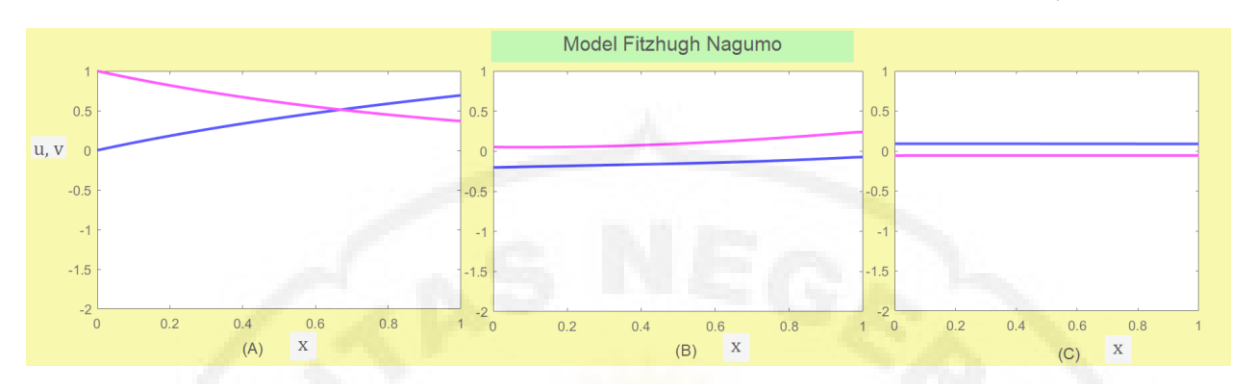
Gambar 3. Model Fitzhugh Nagumo Dengan Menggunakan Metode Beda Hingga dengan D = 0.075 dan $\varepsilon = 0.05$



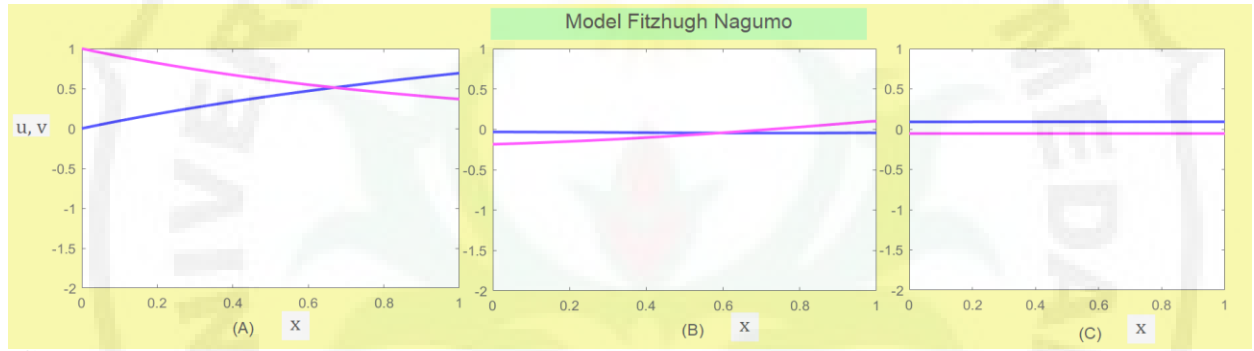
Gambar 4. Model Fitzhugh Nagumo Dengan Menggunakan Metode Beda Hingga dengan D=0.05 dan $\varepsilon=0.1$

Dari gambar 4 menunjukkan grafik hasil dari u(x,t) dan v(x,t) yang dimulai dengan nilai awal $u(x,0) = \log(x+1)$ dan $v(x,0) = e^{-x}$ dengan menggunakan metode beda hingga. Pada grafik tersebut dapat dilihat bahwa u(x,t) (potensial membran neuron presinaptik) mengalami penurunan dengan mengalami fase hiperpolarisasi dan v(x,t) (potensial membran neuron postsinaptik) mengalami penurunan dengan fase depolarisasi pada iterasi ke 35. Kemudian potensial membran stabil, u(x,t) dan v(x,t) mengalami fase polarisasi (istirahat). Jika efek difusi 0.05 dan kecepatan perubahan potensial dinaikkan ke 0.1 maka impuls saraf pada membran presinaptik mengalami perubahan hiperpolarisasi yang artinya setelah pengeluaran neuron transmitter, impuls mengalami perlambatan sampai kembali ke keadaan normal dan pada percepatan pengubahan neuron transmitter menjadi impuls pada membran postsinaptik yang diteruskan ke otak.

Dari gambar 5 menunjukkan grafik hasil dari u(x,t) dan v(x,t) yang dimulai dengan nilai awal $u(x,0) = \log(x+1)$ dan $v(x,0) = e^{-x}$ dengan menggunakan metode beda hingga. Pada grafik tersebut dapat dilihat bahwa u(x,t) (potensial membran neuron presinaptik) mengalami penurunan dengan mengalami fase depolarisasi dan v(x,t) (potensial membran neuron postsinaptik) mengalami penurunan dengan fase depolarisasi pada iterasi ke 35. Kemudian potensial membran stabil, u(x,t) dan v(x,t) mengalami fase polarisasi (istirahat). Jika efek difusi dan kecepatan perubahan potensial sama maka Impuls saraf pada membran presinaptik mengalami percepatan dalam mengubah energi listrik dengan proses pengeluaran neuron transmitter yang kemudian pada membran postsinaptik juga mengalami percepatan dalam mengubah kembali energi listrik menjadi impuls yang diteruskan ke otak.

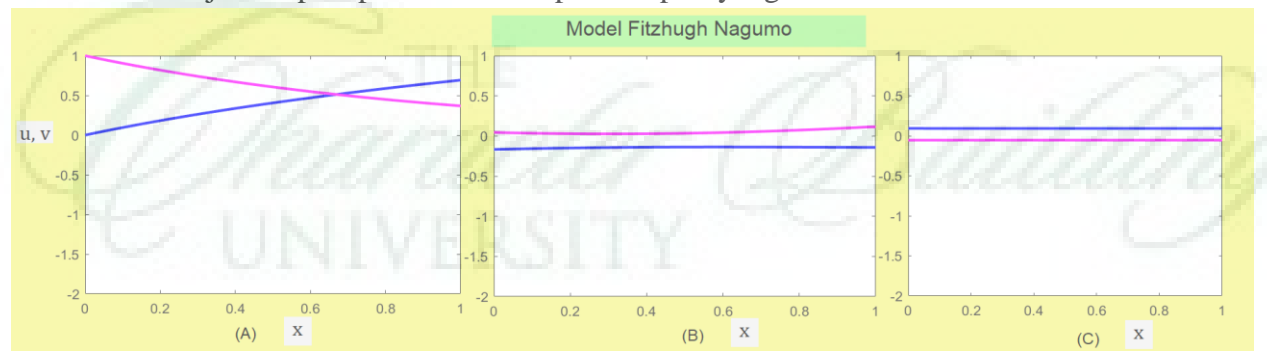


Gambar 5. Model Fitzhugh Nagumo Dengan Menggunakan Metode Beda Hingga dengan D = 0.05 dan $\varepsilon = 0.05$



Gambar 6. Model Fitzhugh Nagumo Dengan Menggunakan Metode Beda Hingga dengan D=0.05 dan $\varepsilon=0.1$

Dari gambar 6 menunjukkan grafik hasil dari u(x,t) dan v(x,t) yang dimulai dengan nilai awal $u(x,0) = \log(x+1)$ dan $v(x,0) = e^{-x}$ dengan menggunakan metode beda hingga. Pada grafik tersebut dapat dilihat bahwa u(x,t) (potensial membran neuron presinaptik) mengalami penurunan dengan mengalami fase hiperpolarisasi dan v(x,t) (potensial membran neuron postsinaptik) mengalami penurunan dengan fase depolarisasi pada iterasi ke 35. Kemudian potensial membran stabil, u(x,t) dan v(x,t) mengalami fase polarisasi (istirahat). Jika efek difusi 0.05 dan kecepatan perubahan potensial dinaikkan ke 0.1 maka impuls saraf pada membran presinaptik mengalami perubahan hiperpolarisasi yang artinya setelah pengeluaran neuron transmitter, impuls mengalami perlambatan sampai kembali ke keadaan normal dan pada percepatan pengubahan neuron transmitter menjadi impuls pada membran postsinaptik yang diteruskan ke otak.



Gambar 7. Model Fitzhugh Nagumo Dengan Menggunakan Metode Beda Hingga dengan D=0.075 dan $\varepsilon=0.05$

Dari gambar 7 menunjukkan grafik hasil dari u(x,t) dan v(x,t) yang dimulai dengan nilai awal $u(x,0) = \log(x+1)$ dan $v(x,0) = e^{-x}$ dengan menggunakan metode beda hingga. Pada grafik tersebut dapat dilihat bahwa u(x,t) (potensial membran neuron presinaptik) mengalami

Transformasi, Rekonstruksi, dan Integrasi Keilmuan dalam Pembelajaran Matematika Menuju Era Inovasi dan Kolaborasi Medan, 20 November 2024

penurunan dengan mengalami fase repolarisasi dan v(x,t) (potensial membran neuron postsinaptik) mengalami penurunan dengan fase depolarisasi pada iterasi ke 35. Kemudian potensial membran stabil, u(x,t) dan v(x,t) mengalami fase polarisasi (istirahat). Jika efek difusi dinaikkan ke 0.075 dan kecepatan perubahan potensial 0.05 maka impuls saraf pada membran presinaptik mengalami perubahan yang artinya setelah pengeluaran neuron transmitter, impuls dalam keadaan normal namun hal ini berdampak pada percepatan pengubahan neuron transmitter menjadi impuls pada membran postsinaptik yang diteruskan ke otak.

KESIMPULAN

Berdasarkan penelitian, diperoleh ialah pendekatan numerik metode *Finite Difference* digunakan untuk menganalisis persamaan diferensial parsial (PDE) Fitzhugh-Nagumo, yang menggambarkan dinamika potensial membran neuron. Dengan mendiskretkan ruang dan waktu, turunan parsial pertama dan kedua dari variabel u dan v diaproksimasi menggunakan skema selisih hingga. Persamaan u dan v kemudian diurai menjadi bentuk diskret yang memungkinkan iterasi waktu untuk menghitung nilai u dan v pada setiap titik dalam domain spasial dan temporal. Implementasi numerik ini melibatkan inisialisasi dengan kondisi awal yang ditentukan dan penerapan syarat batas Neumann untuk memastikan bahwa perubahan potensial membran pada batas-batas domain mengikuti aturan yang diberikan. Dengan cara ini, metode numerik *Finite Difference* memberikan wawasan penting tentang perilaku kompleks sistem saraf dan mekanisme regulasi ritme biologis.

Analisis ini membantu memahami bagaimana parameter-parameter sistem dapat diatur untuk mempengaruhi pola aktivitas neuron, yang berpotensi memberikan kontribusi signifikan dalam penelitian neurofisiologi dan pengembangan intervensi terapeutik untuk gangguan neurologis. Berdasarkan simulasi model Fitzhugh Nagumo pada ambang batas a dengan iterasi waktu ke-35 jika nilai ambang batas a $\left(0 < a < \frac{1}{2}\right)$ diperoleh bahwa sistem a cenderung mengalami repolarisasi apabila efek difusi ditingkatkan dan mengalami hiperpolarisasi apabila kecepatan perubahan potensial ditingkatkan. Namun sistem a0 akan mengalami fase depolarisasi apabila nilai dari efek difusi dan kecepatan perubahan potensial sama. Sedangkan untuk sistem a0 tidak mengalami gangguan apabila parameter efek difusi dan kecepatan perubahan potensial diubah, sistem akan tetap mengalami fase depolarisasi. Pada iterasi ke-500, sistem a0 dan a0 akan stabil atau mengalami fase istirahat. Model Fitzhugh-Nagumo dapat diperluas kembali dengan menambahkan faktor kecepatan respon saraf terhadap stimulus yang diberikan dan memberikan fungsi ambang batas yang relevan dengan model.

UCAPAN TERIMA KASIH

Terimakasih diucapkan kepada Dosen Pembimbing yang telah memberikan dukungan sehingga penelitian bisa terlaksana dengan baik.

DAFTAR PUSTAKA

Boyce, W., E. D. R. C. (2001). *Elementary Differential Equestions and Boundary Value Problem*. John Wiley and Sons, Inc.

Dikansky, A. (2005). Fitzhugh-Nagumo Equations in a Nonhomogeneous Medium. *Discrete and Continuous Dynamical Systems*, *3*, 216–224.

Irawati, L. (2015). Aktifitas Listrik pada Otot Jantung. *Jurnal Kesehatan Andalas*, 4(2), 596–599.

https://doi.org/10.25077/jka.v4i2.306

Oswari, S. (2008). Model Matematika Penjalaran Impuls Saraf pada Satu Sel Saraf di Subthalamik Nukleus.

Perko, L. (2001). Differential Equation and Dynamics. Springer Verlag New York.

Sukmawati, A. S. (2023). *BUKU AJAR PEMENUHAN KEBUTUHAN DASAR MANUSIA*. PT. Sonpedia Publishing Indonesia.

Susuki, K., dan Rasband. (2008). MN Mekanisme molekuler pembentukan nodus Ranvier. *Opini Terkini Dalam Biologi Sel*, 616–623.

Sutimin, W. (2007). Pemodelan Matematika. Universitas Diponegoro.

Yunita, D. (2009). Dinamika Impuls pada Satu Sel Saraf dengan Akupuntur sebagai Stimulus.

